

توسعه و کاربرد یک مدل ناپارامتری برای شبیه‌سازی دبی جریان رودخانه

افشین اشرف‌زاده^۱ و مجید خلقی^۲

۱، ۲، دانشجوی دوره دکتری و دانشیار، پردیس کشاورزی و منابع طبیعی دانشگاه تهران- کرج
تاریخ پذیرش مقاله ۸۳/۷/۸

خلاصه

آبدھی رودخانه به عنوان ورودی به سیستم از پارامترهای مهم در مدیریت بهره‌برداری از مخازن سدها می‌باشد. شبیه‌سازی و پیش‌بینی آبدھی در مقیاس سالانه را می‌توان با استفاده از روش‌های استوکاستیکی انجام داد. در مقیاس ماهانه که در مدیریت سد حائز اهمیت بیشتری است به علت نگرش فصلی و پریودیک روش‌های استوکاستیکی، تعداد پارامترها افزایش یافته و در نتیجه خطای برآورد بیشتر می‌شود. در روش جدیدی که توسط شارما و همکاران (۱۹۹۷) ارائه شده است، دبی جریان به صورت متغیری تصادفی که به مقادیر پیشین خود وابسته است در نظر گرفته شده و این وابستگی در قالب یکتابع چگالی احتمال مشترک بیان می‌شود. روش ناپارامتری برآورد هسته‌ای چگالی برای تقریب اینتابع به کار رفته و با استفاده از تابع چگالی احتمال شرطی، شبیه‌سازی آبدھی رودخانه انجام می‌گیرد. در این مقاله، بر اساس تئوری یاد شده، مدلی کامپیوترا برای شبیه‌سازی دبی جریان توسعه داده شد و به منظور ارزیابی مدل در شرایط واقعی، در شبیه‌سازی آبدھی رودخانه کارون در ورودی به سد کارون ۱ (شهید عباسپور) مورد استفاده قرار گرفت. از بین سریهای شبیه‌سازی شده، بهترین آن با استفاده از میانگین قدر مطلق خطای انتخاب گردید. مقایسه سری شبیه‌سازی شده و مشاهده شده نشان داد که در اکثر ماهها تفاوت اندکی بین مقادیر آبدھی‌ها وجود دارد. با توجه به نتایج این تحقیق، می‌توان این مدل را برای شبیه‌سازی آبدھی رودخانه در ورودی به مخازن سدها پیشنهاد کرد.

واژه‌های کلیدی: دبی جریان، مخازن سد، روش‌های ناپارامتری، برآورد هسته‌ای چگالی، رودخانه کارون

(۱۳۷۹ و ۱۳۸۰). بنابراین با تهیه مدل‌هایی مبتنی بر عدم قطعیت

ذاتی نهفته در این متغیر هیدرولوژیک، می‌توان اطمینان قابل قبولی به سرمایه‌گذاریهای بخش‌های مختلف مهندسی آب ارائه کرد.

یکی از روش‌هایی که می‌توان با استفاده از آن به برآورد آبدھی رودخانه پرداخت روش ناپارامتری برآورد توابع می‌باشد که بر مبنای آمار و احتمالات بنا شده است. این روش که سالها به صورت تئوری محض در دانشکده‌های علوم و ریاضی مورد بحث قرار می‌گرفت (۶، ۹) در سالهای اخیر در بعضی از رشته‌های کاربردی نیز مورد استفاده قرار می‌گیرد. استفاده از

مقدمه

دبی ورودی به مخازن سدها به عنوان شاهرگ حیاتی برنامه‌ریزی منابع آب در مقیاس کلان، همواره مورد توجه بخش‌های اجرایی آب کشور بوده است. طراحی صحیح و بهره‌برداری اصولی از سیستمهای منابع آب، مستلزم شبیه‌سازی و برآورد تا حد امکان نزدیک به واقعیت این پارامتر می‌باشد. عدم دقیقت در شبیه‌سازی و برآورد آبدھی ورودی به مخازن سدها باعث شده است که در موقع بحرانی حتی سدهای بزرگی چون ذره، کرج و زاینده‌رود نیز نتوانند پاسخگوی نیاز آبی بخش‌های کشاورزی، شرب و صنعت باشند (سالهای ۱۳۷۸،

ریاضی، نیازهای محاسباتی، میزان کارآیی و کاربرد، دارای تفاوت‌هایی می‌باشند. تمامی این روشها با تکیه بر این اصل که برآورد تابع هدف بایستی به صورت موضعی انجام شود سعی در برآورد تابع احتمالاتی از داده‌های مشاهده شده دارند تا بر اساس آن بتوان به پیش‌بینی متغیر مورد نظر در آینده پرداخت. روش مورد استفاده برای شبیه‌سازی دبی جریان در این مقاله بر مبنای برآورد هسته‌ای چگالی می‌باشد که در بخش بعد معرفی می‌گردد.

برآورد هسته‌ای از متداول‌ترین روش‌های ناپارامتری برآورد چگالی می‌باشد. در صورتیکه n داده مشاهده شده از متغیر تصادفی X در دست داشته باشیم برآورد هسته‌ای چگالی در نقطه x به صورت زیر نوشته می‌شود^(۹):

$$\hat{f}(x) = \frac{1}{nh} \sum_{i=1}^n K\left(\frac{x-x_i}{h}\right) \quad (1)$$

در این معادله، h عرض‌باند^۲ و K تابع هسته‌ای^۳ نامیده می‌شود. در حالت کلی اگر $K(u) > 0$ و $\int K(u)du = 1$ باشد، برآورد محاسبه شده توسط رابطه (۱) شرایط تابع چگالی احتمال را دارا خواهد بود^(۹). مقدار چگالی در نقطه x با استفاده از رابطه (۱) بدین ترتیب محاسبه می‌شود که ابتدا n تابع هسته‌ای مستقل با عرض باند h و مرکزیت x_i بر روی هر یک از مشاهدات قرار می‌گیرند. سپس مجموع عرضهای هسته‌های یاد شده در نقطه x محاسبه شده و با تقسیم این مجموع بر nh ، برآورد چگالی در x بدست می‌آید. این بدان معنی است که تمامی مشاهدات مستقل در محاسبه $f(x)$ مشارکت خواهند داشت.

با استفاده از تابع هسته‌ای هموار، برآورد هسته‌ای چگالی نیز برآورده هموار و پیوسته خواهد بود. از نظر تئوری ثابت شده است که تابع هسته‌ای انتخاب شده نقش تعیین کننده‌ای در عملکرد روش ندارد^(۴). تابع هسته‌ای متفاوتی در منابع مختلف ارائه شده‌اند که می‌توان به انواع ذکر شده توسط

2. Bandwidth

3. Kernel Function

روشهای ناپارامتری در سالهای اخیر در هیدرولوژی و منابع آب شروع شده و قابلیتهای آن مورد ارزیابی قرار گرفته است که به عنوان مثال می‌توان به موارد زیر اشاره کرد. آداموفسکی (۱۹۸۵) با استفاده از برآورد ناپارامتری تابع چگالی احتمال سیلانه، روشی ناپارامتری برای آنالیز فراوانی سیلان ارائه کرد. آداموفسکی و فلوج (۱۹۹۱) از رگرسیون ناپارامتری در پیش‌بینی سطح آب زیرزمینی استفاده کرده و نتیجه گرفته‌ند این روش نسبت به رگرسیون توانی یا چند جمله‌ای دارای ضریب همبستگی بالاتری است. لل و همکاران (۱۹۹۴) یک برآورد کننده چند جمله‌ای ناپارامتری توسعه دادند که آزمون آن بر روی داده‌های ساختگی و داده‌های مشاهده شده سطح آب زیرزمینی برتری این روش را نسبت به برآورد کننده کریجینگ معمولی نشان داد. شارما و همکاران (۱۹۹۷) با استفاده از برآورد ناپارامتری تابع چگالی احتمال، روشی برای شبیه‌سازی دبی جریان ارائه کردند که آزمون آن توسط داده‌های ساختگی نشان داد این روش در تولید وابستگی‌های خطی و غیر خطی بین مقادیر متغیر تصادفی، انعطاف پذیری بیشتری نسبت به روش‌های استوکاستیک رایج دارد. تاریون و همکاران (۱۹۹۸) کاربرد روش‌های ناپارامتری نشان داده شده تجزیه کننده^۱ گسترش داده و با استفاده از داده‌های ساختگی و مشاهده شده نشان دادند که این روش قادر به حفظ ویژگی‌های آماری و همبستگی موجود در این داده‌ها می‌باشد.

در مقاله حاضر، بر اساس اصول تئوری شبیه‌سازی دبی جریان (شارما و همکاران، ۱۹۹۷)، مدلی کامپیوتري توسعه داده شده و عملکرد آن در شرایط ایران مورد ارزیابی قرار گرفته است.

مواد و روش‌ها

به طور کلی روش‌های ناپارامتری برآورد یک تابع سعی دارند با استفاده از داده‌های تاریخی مشاهده شده، تقریبی موضعی از تابع هدف ارائه نمایند. در منابع علم آمار به انواع مختلفی از برآورد کننده‌های ناپارامتری اشاره شده است که در شکل

1. Disaggregation models

روش اعتبارسنجی متقابل کمترین توانهای دوم^۱ که توسط بومن (۱۹۸۴) پیشنهاد شده است و بر مبنای حداقل کردن مستقیم جمع بسته توانهای دوم خطأ بددست می‌آید نمونه‌ای از این روشها می‌باشد. جمع بسته توانهای دوم خطأ طبق تعریف به صورت زیر نوشته می‌شود (۸):

$$ISE = \int (f(x) - \hat{f}(x))^2 dx = \int f(x)^2 - 2 \int f(x) \hat{f}(x) dx + \int \hat{f}(x)^2 \quad (4)$$

ترم آخر معادله (۴) تنها به داده‌های مشاهده شده، تابع هسته‌ای و عرض‌باند انتخاب شده بستگی دارد. از ترم اول معادله فوق نیز به دلیل عدم وابستگی آن به عرض‌باند می‌توان صرف نظر نمود. ترم دوم که حاصل ضرب چگالیهای واقعی و برآورد شده است را نیز می‌توان به عنوان $E(\hat{f}(x))$ در نظر گرفت. بومن با در نظر گرفتن موارد فوق، $LSCV(h)$ را که معیاری است از خطای برآورد و تنها به عرض‌باند وابسته می‌باشد به صورت زیر ارائه کرده است (۸):

$$LSCV(h) = \int \hat{f}(x)^2 - \frac{2}{n} \sum_{i=1}^n \hat{f}_{-i}(x_i) \quad (5)$$

در این معادله، $\hat{f}_{-i}(x_i)$ چگالی برآورد شده در نقطه x_i با استفاده از تمامی داده‌ها به استثنای x_i می‌باشد. آداموفسکی و فلوج (۱۹۹۱) و شارما و همکاران (۱۹۹۷) معیار $LSCV$ را برآوردهای d بعدی چگالی که از تابع هسته‌ای چند متغیره گوسی استفاده می‌کند به صورت زیر ارائه کردند (۷):

$$LSCV(h) = \frac{1 + (1/n) \sum_{i=1}^n \sum_{j \neq i} [\exp(-L_{ij}/4) - 2^{(d/2)+1} \exp(-L_{ij}/2)]}{(2\pi^{1/2})^d n \det(\mathbf{S})^{1/2}} \quad \text{که در آن:}$$

$$L_{ij} = (\mathbf{x}_i - \mathbf{x}_j)^T \mathbf{S}^{-1} (\mathbf{x}_i - \mathbf{x}_j) / h^2 \quad (6\text{-الف})$$

با حداقل کردن معادله (۶) با استفاده از داده‌های مشاهده شده، مقدار بهینه عرض‌باند بدست آمده و بدین ترتیب می‌توان معادله (۳) را در برآورد چگالی مورد نظر به کار بست. نکته ای که در انتخاب عرض‌باند بایستی بدان توجه داشت عدم

سیلورمن (۱۹۸۶) و اسکات (۱۹۹۲) اشاره کرد. از این میان، تابع هسته‌ای نرمال، متداول‌ترین و کاربردی‌ترین تابع هسته‌ای است که بر مبنای این تابع هسته‌ای، معادله (۱) به صورت زیر نوشته می‌شود:

$$\hat{f}(x) = \frac{1}{nh} \sum_{i=1}^n \frac{1}{(2\pi)^{1/2}} \exp\left[-\frac{(x - x_i)^2}{2h^2}\right] \quad (2)$$

معادله (۲) برای بردار دو بعدی \mathbf{x} به صورت زیر نوشته می‌شود (۶ و ۷):

$$\hat{f}(\mathbf{x}) = \frac{1}{nh^2} \sum_{i=1}^n \frac{1}{2\pi \det(\mathbf{S})^{1/2}} \exp\left\{-\frac{(\mathbf{x} - \mathbf{x}_i)^T \mathbf{S}^{-1} (\mathbf{x} - \mathbf{x}_i)}{2h^2}\right\} \quad (3)$$

در این معادله، \mathbf{S} ماتریس کوواریانس داده‌ها، \mathbf{x}^T ترانهاده بردار \mathbf{x} و $\det(\mathbf{S})$ دترمینان ماتریس \mathbf{S} می‌باشد. برآورد چگالی در حالت دو بعدی نیز تعبیری مشابه با حالت یک بعدی دارد با این تفاوت که هسته‌های مورد استفاده دو بعدی می‌باشند. از آنجا که تنها پارامتر قابل انتخاب در برآورد هسته‌ای چگالی عرض‌باند می‌باشد در دست داشتن روشی برای تعیین مقدار بهینه عرض‌باند بسیار حائز اهمیت است. روش‌های متعددی برای انتخاب عرض‌باند بهینه ارائه شده‌اند که در بخش بعد روش مورد استفاده در این مقاله توضیح داده شده و بر مبنای آن الگوریتم انتخاب عرض‌باند ارائه می‌شود.

به طور کلی روش‌های انتخاب عرض‌باند بر مبنای مقایسه چگالیهای واقعی و برآورده شده می‌باشند و بر این اساس معیاری از دقت برآورد بدست می‌دهند. مشکل بزرگی که در راه استفاده از این روشها جود دارد وابستگی آنها به چگالی واقعی است. از آنجا که چگالی واقعی ناشناخته می‌باشد نمی‌توان ارزیابی صحیحی از دقت برآورد بدست آورد. از این‌رو بایستی به دنبال معیارهایی باشیم که تنها تابعی از چگالی برآورد شده (یا به عبارت دیگر تابعی از عرض‌باند انتخاب شده) باشند و با ارزیابی آنها بتوان مقداری بهینه برای عرض‌باند بدست آورد.

1. Least Square Cross Validation-LSCV

2. Integrated Square Error-ISE

امر مستلزم آن است که یکتابع چگالی احتمال مشترک $f(x_t, x_{t-1}, x_{t-2}, \dots, x_{t-p})$ به صورت ($d=p+1$) برآورد نماییم. با برآورد این توزیع مشترک، می‌توان شبیه‌سازی را از روی تابع چگالی احتمال شرطی متناظر با آن انجام داد. از آنجا که مدل مورد نظر، مدلی از مرتبه یک است (x_t از روی x_{t-1}) تابع چگالی احتمال شرطی آن به صورت زیر نوشته می‌شود (۷):

$$f(x_t|x_{t-1}) = \frac{f(x_t, x_{t-1})}{\int f(x_t, x_{t-1}) dx_t} = \frac{f(x_t, x_{t-1})}{f_m(x_{t-1})} \quad (8)$$

که در آن، ($f_m(x_{t-1})$ تابع حاشیه‌ای x_{t-1} می‌باشد. این معادله را می‌توان در شبیه‌سازی x_t از روی x_{t-1} به کار برد. بدین منظور ابتدا بایستی توزیع مشترک x_t و x_{t-1} را از معادله (۳) و بر مبنای تعداد n بردار مشاهده شده \mathbf{x}_i برآورد کنیم. برای سری زمانی $\{x_0, x_1, x_2, \dots, x_n\}$ بردار \mathbf{x}_i دارای عناصر (x_i, x_{i-1}) است به نحوی که $1 \leq i \leq n$ می‌باشد. بنابراین از معادله (۳) داریم (۷):

(۹)

$$\hat{f}(x_t, x_{t-1}) = \frac{1}{nh^2} \sum_{i=1}^n \frac{1}{2\pi \det(\mathbf{S})^{1/2}} \exp\left(-\begin{bmatrix} x_t - x_i \\ x_{t-1} - x_{i-1} \end{bmatrix}^T \mathbf{S}^{-1} \begin{bmatrix} x_t - x_i \\ x_{t-1} - x_{i-1} \end{bmatrix}\right)/2h^2$$

در این برآورد تمامی مشاهدات (x_i, x_{i-1}) بر مبنای فاصله‌ای که از (x_t, x_{t-1}) دارند، عرض باند h و ماتریس همپراشی \mathbf{S} مشارکت داده می‌شوند. با نمایش ماتریس همپراشی \mathbf{S} صورت $\begin{bmatrix} S_{11} & S_{12} \\ S_{21} & S_{22} \end{bmatrix}$ و تلفیق معادلات (۸) و (۹) خواهیم داشت (۷):

(۱۰)

$$\hat{f}(x_t|x_{t-1}) = \frac{1}{n} \sum_{i=1}^n \frac{1}{(2\pi h^2 S')^{1/2}} (rw)_i \exp\left(-\frac{(x_t - b_i)^2}{2h^2 S'}\right)$$

که در آن:

$$(rw)_i = \exp\left(-\frac{(x_{t-1} - x_{i-1})^2}{2h^2 S_{22}}\right) / \sum_{j=1}^n \exp\left(-\frac{(x_{t-1} - x_{j-1})^2}{2h^2 S_{22}}\right) \quad (10\text{-الف})$$

$$S' = S_{11} - \frac{S_{12}^2}{S_{22}} \quad (10\text{-ب})$$

پراکندگی یکسان داده‌های مشاهده شده می‌باشد به نحوی که در برخی دامنه‌ها تعداد زیادی از داده‌ها و در نواحی دیگر تعداد اندکی از داده‌ها واقع می‌شوند. با توجه به این امر میزان هموارسازی در ناحیه‌های متفاوت را بایستی با در نظر گرفتن عرض باندهای متفاوت تعديل نمود. سیلورمن (۱۹۸۶) رابطه زیر را برای محاسبه عرض باندهای موضعی h_i ارائه کرده است (اقتباس از ۸):

$$h_i = h(\hat{f}(x_i)/g)^{-1/2} \quad (7)$$

در این معادله، h_i عرض باند متناظر با نقطه x_i و g میانگین هندسی داده‌ها می‌باشد. با توجه به آنچه بیان گردید، روش انتخاب عرض باند بهینه به صورت زیر می‌باشد:

- ۱- مقداری اختیاری برای h در نظر گرفته می‌شود.
- ۲- بر اساس h انتخاب شده، مقدار $(\hat{f}(x_i)/g)$ برآورد شده و سپس از رابطه (۷) عرض باندهای موضعی محاسبه می‌شوند.

۳- معیار $LSCV$ برای عرض باندهای موضعی محاسبه می‌شود.

۴- مراحل ۱ تا ۳ تا رسیدن به حداقل مقادیر محاسبه شده در مرحله ۳ ادامه می‌یابد.

با استفاده از روش فوق می‌توان عرض باند بهینه‌ای که بهترین مقادیر عرض باندهای موضعی را بدست می‌دهد تعیین نمود و بر اساس آن شبیه‌سازی ناپارامتری دبی جریان را انجام داد.

متدولوژی ارئه شده توسط شارما و همکاران (۱۹۹۷) برای شبیه‌سازی دبی جریان به شرح زیر است. سری زمانی $\{x_1, x_2, \dots, x_t, \dots\}$ که در آن x_t مقدار دبی جریان در زمان t می‌باشد را در نظر می‌گیریم. فرض می‌کنیم در این سری زمانی ساختار وابسته توالیهای مشاهده شده دبی جریان به نحوی است که هر مقدار، تنها به تعداد محدودی از نقاط پیشین خود وابسته است. به عبارت دیگر سری زمانی را به صورت یک فرایند مارکوف فرض می‌کنیم و از این‌رو مدلی از مرتبه p بایستی x_t را بر مبنای p مقدار قبلی آن شبیه‌سازی نماید. این

که در آن W_t یک متغیر تصادفی نرمال با میانگین صفر و واریانس یک است.

متدولوژی شبیه‌سازی دبی جریان با در دست داشتن الگوریتم بهینه‌سازی مقدار عرض باند که در بخش پیشین ارائه شد کامل می‌گردد.

نتایج و بحث

بر مبنای متدولوژی ارائه شده، مدلی کامپیوترا توسعه داده شد که مراحل شبیه‌سازی ناپارامتری دبی جریان را به انجام می‌رساند. به منظور ارزیابی نحوه عملکرد مدل تهیه شده از آن در شبیه‌سازی دبی جریان رودخانه کارون استفاده گردید. آمار مورد استفاده در شبیه‌سازی، مربوط به دبی ماهانه رودخانه کارون در محل ورودی به سد کارون (شهید عباسپور) و متعلق به یک دوره آماری ۲۵ ساله (۱۳۵۷-۸۱) بودند که در شکل (۱) نمایش داده شده‌اند.

با استفاده از آمار فوق و مدل تهیه شده، تعداد ۵۰ سری دبی ماهانه جریان برابر با طول دوره آماری مشاهده شده شبیه‌سازی گردید. به منظور ارزیابی صحت مدل، پارامترهای آماری میانگین، انحراف معیار و ضریب چولگی در طول دوره شبیه‌سازی، از هریک از سری داده‌ها و همچنین از داده‌های مشاهده شده استخراج گردیدند.

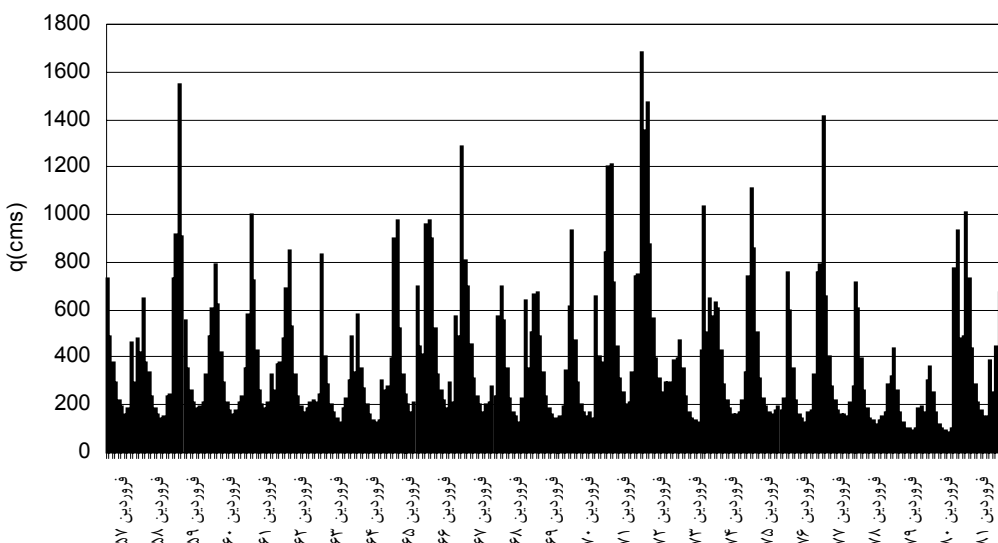
$$b_i = x_i + (x_{t-1} - x_{i-1}) \frac{S_{12}}{S_{22}} \quad (10-ج)$$

چگالی شرطی برآورد شده توسط رابطه (۱۰) بخشی ازتابع چگالی مشترک دو بعدی است. بنابراین می‌توان گفت در تولید چگالی شرطی بخشهایی از هسته‌های دو بعدی مشارکت کننده در تولید چگالی مشترک مورد استفاده قرار می‌گیرند. پارامتر

$$(rw)_i = \sum_{i=1}^n (rw)_i, \quad \text{میزان مشارکت هر یک از هسته‌های جزئی را در برآورد چگالی شرطی مشخص می‌نماید. شبیه‌سازی سری زمانی با انتخاب } x_{t-1} \text{ و تولید } x_t \text{ از معادله (۱۰) شروع شده واین روند با جایگزینی آخرین مقدار تولید شده با } x_{t-1} \text{ ادامه می‌بابد.}$$

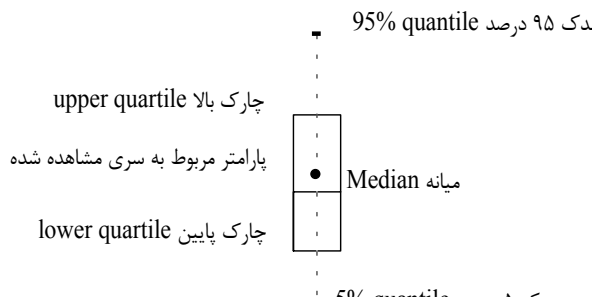
بایستی توجه داشت که در فرآیند شبیه‌سازی نیازی به برآورد صریح چگالی شرطی نمی‌باشد. تابع چگالی احتمال شرطی مجموعی از n هسته جزئی گوسی است که هر یک دارای وزن $(rw)_i$ می‌باشد. بنابراین می‌توان شبیه‌سازی را بدین ترتیب انجام داد که ابتدا یکی از هسته‌های جزئی را با احتمال $(rw)_i$ انتخاب نمود و سپس از این هسته جزئی x_t را به عنوان متغیری تصادفی از آن هسته جزئی با میانگین b_i و واریانس $h^2 S'$ و با استفاده از معادله زیر بدست آورد (۷):

$$x_t = b_i + h(S')^{1/2} W_t \quad (11)$$



شکل ۱- دبی ماهانه رودخانه کارون در محل ورودی به سد کارون ۱

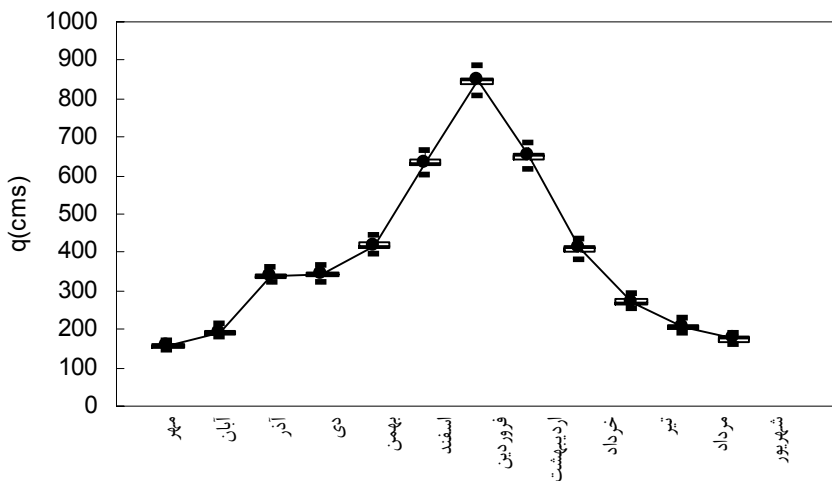
واقع بین چندکهای ۵ و ۹۵ درصد دربرگیرنده ۹۰ درصد از داده‌ها می‌باشد. این نحوه نمایش داده‌ها در شکل (۲) نشان داده شده است.



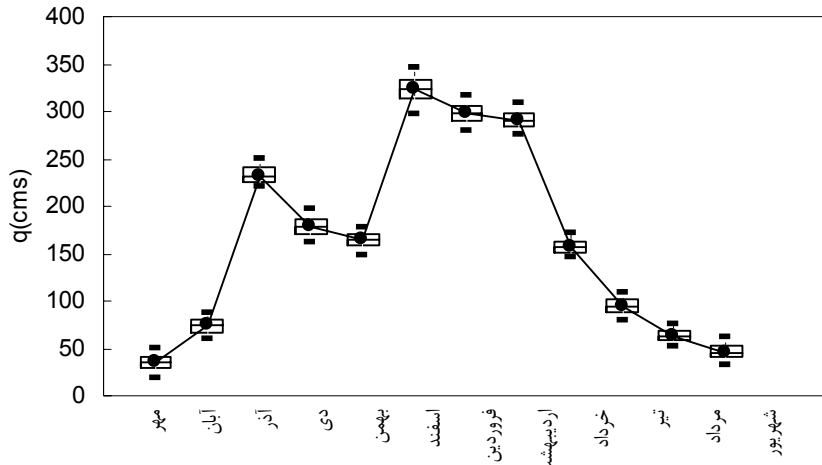
شکل ۲- نحوه نمایش داده‌ها

در شکل‌های (۳) تا (۵) پارامترهای آماری مربوط به داده‌های مشاهده شده و پارامترهای متناظر با آنها که از داده‌های شبیه‌سازی شده بدست آمده‌اند با یکدیگر مقایسه شده‌اند. در این شکل‌ها خطوط شکسته که نقاط توپیر را به یکدیگر متصل می‌کنند، نمودار تغییرات پارامترهای مربوط به داده‌های مشاهده شده در ماههای مختلف می‌باشد. به منظور مقایسه ساده‌تر، مقادیر میانه، چارک بالا، چارک پایین و چندکهای ۵ و ۹۵ درصد پارامترهای مربوط به داده‌های شبیه‌سازی شده در هر ماه به صورت خطوط افقی در نمودارها نمایش داده شده‌اند. دامنه واقع بین دو چارک بالا و پایین که دامنه میان چارکی^۱ نامیده می‌شود در برگیرنده ۵۰ درصد میانی از مقادیر مربوطه و دامنه

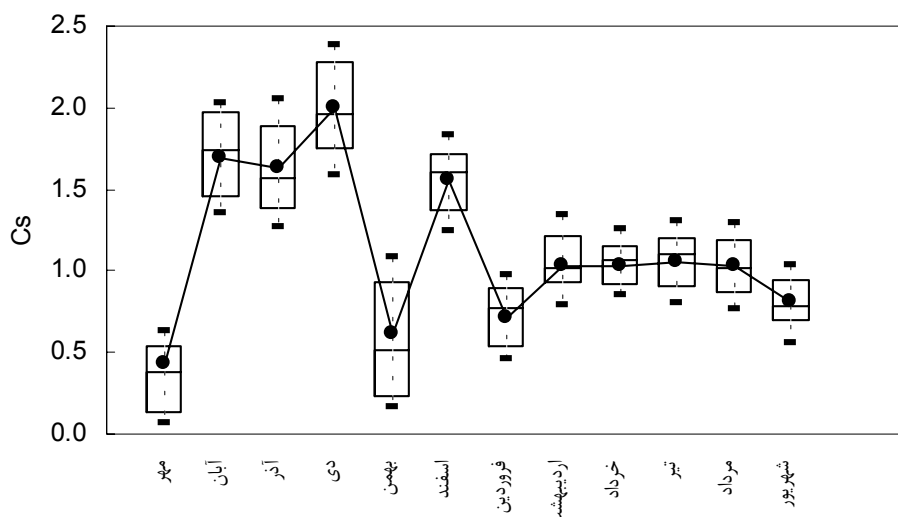
1. Inter-Quartile Range-IQR



شکل ۳- مقایسه بین میانگین مقادیر مشاهده شده و شبیه‌سازی شده در هر ماه



شکل ۴- مقایسه بین انحراف معیار مقادیر مشاهده شده و شبیه‌سازی شده در هر ماه



شکل ۵- مقایسه بین ضریب چولگی مقادیر مشاهده شده و شبیه‌سازی شده در هر ماه

$$MAE = \frac{\sum_{i=1}^n |(q_o - q_s)|}{n} \quad (12)$$

در این معادله، q_o دبی مشاهده شده و q_s دبی شبیه‌سازی شده می‌باشد. شکل (۶) نمودار تغییرات میانگین قدر مطلق خطای سریهای شبیه‌سازی شده را نمایش می‌دهد. سری شبیه‌سازی شده دارای کمترین مقدار این پارامتر ($MAE = ۱۴۹/۱۳$) نیز در شکل ۷ با سری مشاهده شده مقایسه شده است.

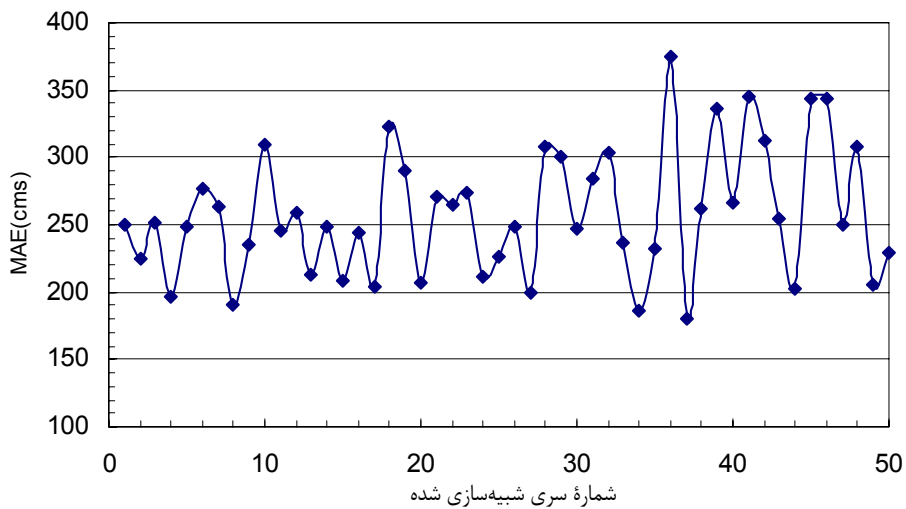
به منظور ارزیابی بهتر مقادیر مشاهده و شبیه‌سازی شده، پارامترهای آماری میانگین، انحراف معیار و ضریب چولگی بهترین سری شبیه‌سازی شده و سری مشاهده شده در جدول ۱ ارائه شده است.

همانگونه که در شکل‌های ۳ و ۴ مشاهده می‌شود بین مقادیر میانگین و همچنین انحراف معیار سریهای شبیه‌سازی شده و سری مشاهده شده تطابق زیادی وجود دارد. در مورد ضریب چولگی (شکل ۵)، به غیر از بهمن ماه در بقیه ماههای سال تفاوت قابل ملاحظه‌ای مشاهده نمی‌شود. در مورد بهمن ماه حداکثر تفاوت مشاهده شده $۰/۴۷$ می‌باشد که این تفاوت می‌تواند ناشی از وجود جریانهای پرآب و سیلابی در این ماه باشد که نرمال بودن رژیم رودخانه را دچار اختشاش کرده است. ضمن اینکه این مقدار برای حداکثر خطا میزان قابل ملاحظه‌ای نمی‌باشد.

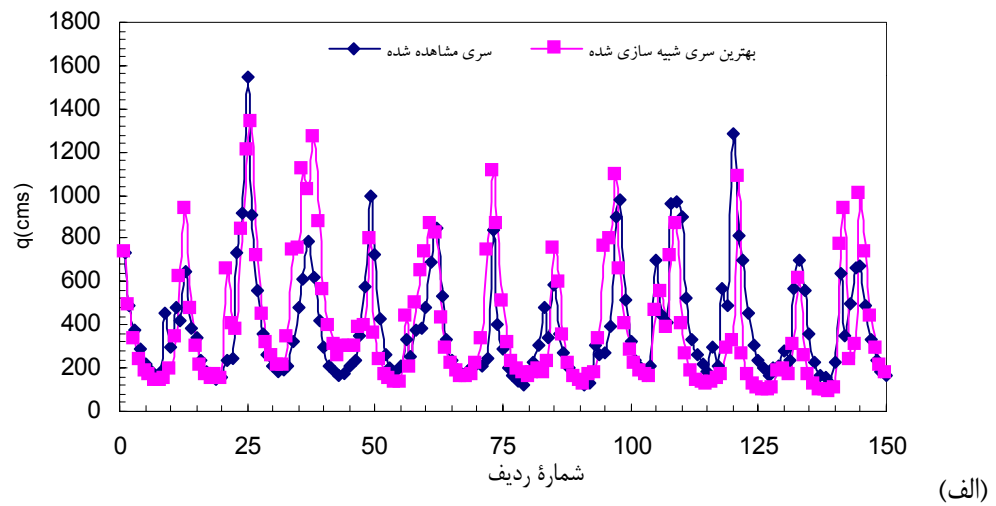
در مرحله بعد به منظور انتخاب بهترین سری شبیه‌سازی شده از پارامتر میانگین قدر مطلق خطای استفاده شده است. این پارامتر توسط رابطه زیر بدست می‌آید:

جدول ۱- مقایسه پارامترهای آماری بهترین سری شبیه‌سازی شده و سری مشاهده شده

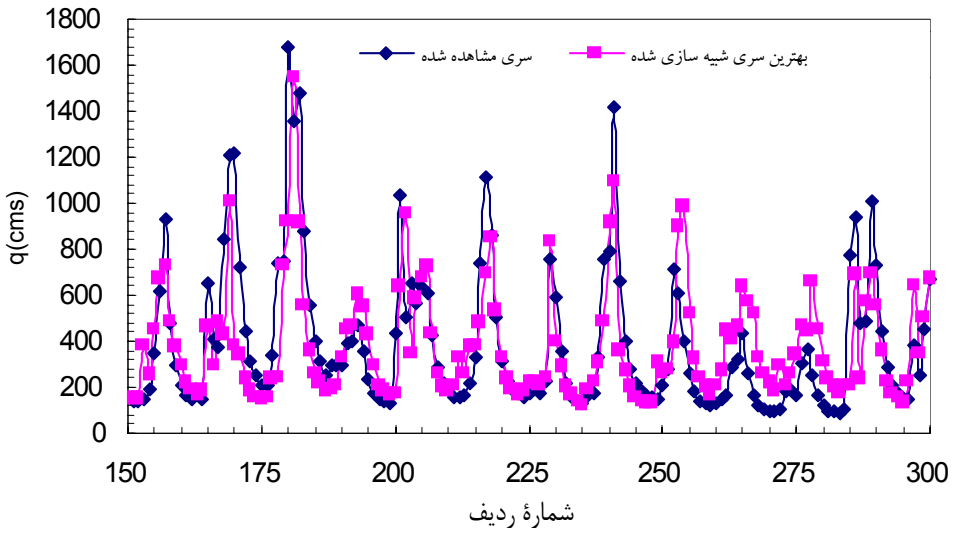
	فروردین	اردیبهشت	خرداد	تیر	مرداد	شهریور	مهر	آبان	آذر	دی	بهمن	اسفند	
۱	مشاهده شده	۸۴۶/۳	۶۵۰/۱	۴۰۹/۹	۲۷۱/۷	۲۰۴/۹	۱۷۵/۱	۱۵۵/۹	۱۹۲/۷	۳۳۹/۷	۳۴۱/۳	۴۱۸/۶	۶۳۳/۵
۲	شبیه‌سازی شده	۸۳۸/۹	۹۴۳/۲	۴۱۷/۱	۲۶۷/۷	۲۰۸/۹	۱۸۰/۳	۱۶۰/۵	۱۹۷/۱	۳۴۳/۹	۳۴۵/۵	۴۱۳/۴	۶۲۷/۷
۳	مشاهده شده	۲۹۷/۲	۲۹۰/۸	۱۵۷/۷	۹۳/۸	۶۲/۴	۴۵/۲	۳۵/۰	۷۴/۰	۲۳۱/۷	۱۷۹/۱	۱۶۵/۳	۳۳۴/۲
۴	شبیه‌سازی شده	۲۶۸/۷	۳۱۱/۷	۱۶۷/۷	۱۰۰/۹	۶۵/۵	۴۷/۷	۳۷/۸	۷۹/۶	۲۴۷/۸	۱۹۱/۹	۱۵۲/۰	۲۹۴/۹
۵	مشاهده شده	۰/۷۱	۱/۰۲	۱/۰۳	۱/۰۵	۱/۰۲	۰/۸۰	۰/۴۳	۱/۶۹	۱/۶۲	۱/۹۹	۰/۶۱	۱/۵۵
۶	شبیه‌سازی شده	۰/۸۰	۱/۱۱	۰/۹۶	۱/۱۲	۱/۱۲	۰/۷۵	۰/۴۹	۱/۸۴	۱/۴۸	۱/۸۱	۰/۵۱	۱/۶۷



شکل ۶- میانگین قدرمطلق خطای در سریهای شبیه‌سازی شده



(الف)



(ب)

شکل ۷- مقایسه بین مقادیر مشاهده شده و بهترین سری شبیه‌سازی شده

از داده‌های رودخانه‌های دیگر و مقایسه نتایج مدل با مدل‌های متداول می‌باشد.

سپاسگزاری

بخشی از هزینه‌های این تحقیق از محل اعتبارات قطب علمی گروه مهندسی آبیاری و آبادانی دانشکده کشاورزی دانشگاه تهران و در قالب طرح تحقیقاتی "شبیه‌سازی دبی جریان رودخانه با استفاده از روش‌های ناپارامتری" تامین شده است. مولفین مراتب قدردانی خود را از گروه محترم مهندسی آبیاری و آبادانی اعلام می‌دارند.

از آنجایی که مقادیر میانگین آبدهی در رودخانه به عنوان ورودی به سیستم مخزن سد حائز اهمیت فراوان است، دقت مدل در برآورد این پارامتر نیز مهم می‌باشد. همانگونه که در جدول (۱) مشاهده می‌شود در مورد بهترین سری شبیه‌سازی شده این تفاوت در حدود ۴ درصد می‌باشد که حاکی از قابلیت بالای مدل می‌باشد. در مورد پارامترهای انحراف معیار و ضریب چولگی نیز حداکثر اختلاف مشاهده شده به ترتیب ۱۰ و ۱۵ درصد می‌باشد که مقادیر قابل قبولی می‌باشند. با توجه به ارزیابی‌های انجام شده روش ارائه شده برای شبیه‌سازی جریان رودخانه پیشنهاد می‌شود هر چند ذکر این نکته ضروری است که کاربردی شدن این روش نیازمند بررسیهای بیشتر با استفاده

REFERENCES

1. Adamowski, K. 1985. Nonparametric Kernel Estimation of Flood Frequencies, *Water Res. Res.*, 21 (11), 1585-1590.
2. Adamowski, K. & W. Feluch. 1991. Application of Nonparametric Regression to Ground water Level Prediction, *Can. J. Civ. Eng.*, 18, 600-606.
3. Bowman, AW. 1984. An Alternative Method of Cross-Validation for the Smoothing of Density Estimates, *Biometrika*, 71(2), 533-560.
4. DiNardo, J. & L. Tobis. 2001. Nonparametric Density and Regression Estimation, *J. Economic Perspectives.*, 15 (4), 11-28.
5. Lall, U., K. Bosworth, & A. Owosina. 1994a. Local Polynomial Estimation of Spatial Surfaces, *Utah Water Res. Lab.*, Utah State Univ.
6. Scott, D.W.1992. Multivariate Density Estimation: Theory, Practice and Visualization, John Wiley and Sons, Inc, New York., 317pp.
7. Sharma, A., U. Lall, & D.G. Tarboton. 1997. Streamflow simulation: A nonparametric approach, *Water Res. Res.*, 33(2), 291-308.
8. Sharma, A., U. Lall, & D. G. Tarboton. Kernel bandwidth selection for a first order nonparametric streamflow simulation model, *Stoch. Hydraul.*, 12, 35-52, 1998.
9. Silverman, B.W. 1986. Density estimation for statistics and data analysis, Chapman & Hall, New York, 350pp.
10. Tarboton, D.G., A. Sharma, & U. Lall. 1998. Disaggregation procedures for stochastic hydrology based on nonparametric density estimation, *Water Res. Res.*, 34(1), 107-119.